

## ***The Effect of chick Embryonic Somites on Neural Rosette Formation in Mouse Embryonic Stem Cells***

**Sagha M., Ph.D., Esfandiari E., Ph.D., Karbalaee K., M.Sc., Tanhaee S., M.Sc., Nematoallah M., B.Sc., Rabiee F., B.Sc., Karamali F., M.Sc., Razavi S., Ph.D., Nasr-Esfahani M.H., Ph.D. \*, Baharvand H., Ph.D. \*\***

\* Molecular Biology Division and Stem Cell Division, Cell Science Research Center, Isfahan Campus, Royan Institute, ACECR, Isfahan, Iran

\*\* Department of stem cells, Cell Science Research Center, Royan Institute, ACECR, Tehran, Iran

### **Abstract**

**purpose:** The aim of the present study is to understand if EBs can generate neural rosette upon co – culture with chick embryo somites.

**Materials and Methods:** The mouse ES cells, line Royan B1, were cultured in hanging drops to induce embryoid bodies (EBs) formation. Somites were isolated from the chick embryos and then embedded in alginate solution. Finally, alginate beads containing somites were co-cultured with EBs . RA was added to some EBs according to 2-/2+/2+ protocol

**Results:** Mean percentage of EBs containing early and late rosettes in somite, control and RA was 14.56%, 2.6% and 0.0% , respectively and what is important to rosette formation in EBs was the presence of neural inducing components as well as the time course of neural differentiation of EBs

**Conclusion:** Chick embryonic somites can induce ES cells –derived EBs to generate rosette structures with neuron formation capacity.

**Key Words:** Neural rosettes, Embryonic stem cells, Co-culture, Chick embryonic somites

## تأثیر سومایت‌های جنین جوجه بر تشکیل رزت‌های عصبی در سلول‌های بنیادی جنینی موش

محسن سقا<sup>\*</sup>، ابراهیم اسفندیاری<sup>\*</sup>، خدیجه کربلایی<sup>\*</sup>، سمیه تنهایی<sup>\*</sup>، مرضیه فعمت‌الهی<sup>\*</sup>،  
فرزانه ریعی<sup>\*\*\*</sup>، شهناز رضوی<sup>\*\*\*</sup>، فرشته کرمعلی<sup>\*\*\*</sup>، محمد حسین نصراصفهانی<sup>\*\*\*\*</sup>،  
حسین بهاروند<sup>\*\*\*\*</sup>

\* گروه علوم تشریح دانشکده پزشکی اصفهان، اصفهان، ایران

\*\* گروه سلول‌های بنیادی مرکز تحقیقات پزشکی تولید مثل پژوهشکده رویان جهاد دانشگاهی، پایگاه تحقیقاتی اصفهان، اصفهان، ایران

\*\*\* گروه زیست شناسی مولکولی مرکز تحقیقات پزشکی تولید مثل پژوهشکده رویان جهاد دانشگاهی، پایگاه تحقیقاتی اصفهان، اصفهان، ایران

\*\*\*\* گروه سلول‌های بنیادی مرکز تحقیقات علوم سلولی پژوهشکده رویان جهاد دانشگاهی، تهران، ایران

تاریخ وصول: آبان ماه ۸۷، تاریخ پذیرش: دی ماه ۸۷

### چکیده

**هدف:** بررسی تشکیل رزت‌های عصبی سلول‌های بنیادی جنینی موش به دنبال هم‌کشتی با سومایت‌های جنین جوجه در محیط آزمایشگاهی

**مواد و روش‌ها:** این مطالعه به روش تجربی انجام شد. از سلول‌های بنیادی جنینی رده B1 Royan، به روش قطره آویزان اجسام شبه جنینی (EBs) تهیه شدند. سومایت‌ها از جنین جوجه جدا شده و در محلول آلجينیت قرار داده شدند. در نهایت دانه‌های آلجينیت حاوی سومایت با EB هم کشتی داده شدند. به برخی از EB‌ها نیز مطابق با پروتکل ۲+ / ۲- اسید ریتوئیک اضافه شد.

**یافته‌ها:** سومایت‌ها توانستند سبب ظهور ساختارهای رزتی اولیه و بالغ در ۱۴/۵۶٪ از EB‌ها شوند در حالی که این میزان در گروه کترل ۲/۶ درصد و در گروه RA ۰/۰ درصد بود. رزت‌ها پس از جداسازی و کشت مجدد توانستند نورون تولید نمایند و مشخص شد که علاوه بر حضور عوامل القاگر عصبی، گذشت زمان نیز در تشکیل رزت‌ها نقش دارد.

**نتیجه‌گیری:** سومایت‌های جنین جوجه قادرند در محیط آزمایشگاهی باعث تشکیل ساختارهای رزتی در EB‌های حاصل از سلول‌های بنیادی جنینی موش شوند که قابلیت تولید نورون را دارند.

**کلید واژه‌ها:** رزت‌های عصبی، سلول‌های بنیادی جنینی، هم‌کشتی، سومایت‌های جنین جوجه

### مقدمه

کشیده هستند که مشابه مقطع عرضی لوله عصبی حول یک حفره مرکزی آرایش شعاعی می‌یابند. مطالعات مختلف نشان می‌دهند که این ساختارها معمولاً طی تمایز عصبی سلول‌های بنیادی جنینی انسانی ظاهر می‌شوند [۱ و ۲] و تشکیل آنها اولین نشانه ظهور پیش سازه‌های عصبی حاصل از تمایز عصبی سلول‌های بنیادی جنینی انسانی در محیط کشت است [۳ و ۴].

رزت‌های عصبی شامل مجموعه‌ای از سلول‌های منشوری

آدرس مکاتبه: ۱. اصفهان، پایگاه تحقیقاتی اصفهان، پژوهشکده رویان جهاد دانشگاهی، مرکز تحقیقات پژوهشکده تولید مثل، گروه سلول‌های بنیادی، صندوق پستی: ۸۴۳۳ - ۸۱۵۸۹۶، E-mail: mh.nasr-esfahani@royaninstitute.org، ۲. تهران، پژوهشکده رویان جهاد دانشگاهی، مرکز تحقیقات علوم سلولی، گروه سلول‌های بنیادی، صندوق پستی: ۱۹۳۹۵-۴۶۴۴، E-mail: baharvand@RoyanInstitute.org

سلول‌های استرومایی مشتق از ناحیه آئورت - گناد - مزوونفروس جنینی [۱۷]، SDIA<sup>۷</sup> [۱۸ و ۱۹] و همچنین محیط فراهم شده<sup>۸</sup> از عقده ریشه پشتی نخاع جنین جوجه [۲۰] و آسترومیت [۲۱] از آن‌ها نورون به دست آورد.

سومایت‌ها ترده‌های سلولی از مزдрم پاراگزیال جنینی هستند که در جنین سرتانابداران<sup>۹</sup> و مهره داران وجود دارند. آن‌ها در برخی از جنین‌ها مانند جنین جوجه، موش و ماهی گورخری طی یک فرآیند بسیار دقیق از ناحیه سری مزووندرم پیش سومایتی<sup>۱۰</sup> به صورت کره‌های اپی‌تلیالی جوانه می‌زنند [۲۲] و به غضروف، استخوان، عضله و درم پوست تمایز می‌یابند [۲۳]. آن‌ها همچنین در تشکیل و مهاجرت سلول‌های ستیغ عصبی نقش دارند [۲۴ و ۲۵] و با ترشح رتینوئیدها باعث تمایز سلول‌های پیش‌ساز عصبی صفحه عصبی سازنده مناطق مغز خلفی و نخاع به نورون می‌شوند [۲۶-۲۸].

در مطالعه قبلی نشان داده شد که سومایت‌های جنین جوجه به دنبال هم کشته با سلول‌های بنیادی جنینی موش توانایی القای عصبی این سلول‌ها را در محیط آزمایشگاهی دارند [۲۹]. بنابراین هدف از مطالعه حاضر پاسخ به این سؤال بود که آیا سومایت‌ها به دنبال القای عصبی سلول‌های بنیادی جنینی موش می‌توانند باعث ایجاد رزت‌های عصبی در این سلول‌ها شوند و این که چه عواملی در تشکیل چنین ساختارهایی می‌توانند نقش داشته باشند.

## مواد و روش‌ها

### کشت سلول‌های بنیادی جنینی

تعداد  $3 \times 10^5$  سلول بنیادی جنینی موش رده B1 Royan در ۳۷ درجه سانتی‌گراد و  $6\text{ CO}_2$  درصد روی فیبروبلاست‌های جنینی موشی تیمار شده با مایتوسومایسین در محیط

ایجاد چنین ساختارهایی طی تمایز عصبی سلول‌های بنیادی جنینی موش [۵] و میمون نیز گزارش شده است [۶]. رزت‌های عصبی به عنوان مدلی برای نوروژن در محیط زنده عمل می‌کنند؛ چرا که سلول‌های پیش‌ساز عصبی موجود در آنها همان ژنهای سلول‌های نوروپاپی تلیالی موجود در لوله عصبی را بیان می‌کنند [۳]. همچنین می‌توان با استفاده از آنها مکانیزم مولکولی تشکیل نورون‌های خاصی در بدن مانند نورون‌های دوپامینزیکی و یا نورون‌های حرکتی را مورد ارزیابی قرار داد [۷ و ۸] بنابراین چنانچه اساس مولکولی تشکیل رزت‌ها شناخته شود نحوه تخصصی یافته‌گی اکتسودرم عصبی در محیط بدن نیز مشخص خواهد شد [۳].

سلول‌های بنیادی جنینی موشی همانند سلول‌های بنیادی جنینی انسانی سلول‌های پرتوانی<sup>۱</sup> هستند که از جنین قبل از لانه‌گزینی در مرحله بلاستوسیست به دست می‌آیند که علاوه بر تکثیر دراز مدت در محیط کشت به عنوان سلول‌های تمایز نیافته توانایی تمایز به انواع سلول‌های اختصاصی و عملکردی را دارند [۹-۱۱]. این سلول‌ها علاوه بر این که منع وسیعی از سلول‌ها را برای سلول درمانی بیماری‌های نوروژنراتیو فراهم می‌کنند با ایجاد ساختارهای سه بعدی و کروی شکلی به نام اجسام شبه جنینی (EB)<sup>۲</sup> مدل آزمایشگاهی مناسبی برای بررسی ابعاد مختلف مراحل اولیه تکامل جنینی پستانداران محسوب می‌شوند و می‌توان به وسیله آن‌ها مکانیزم مولکولی نوروژن در بدن را درک نمود [۱۲ و ۱۳].

سلول‌های بنیادی جنینی موشی توانایی تبدیل به سلول‌های عصبی با استفاده از عوامل القاگر عصبی نظری اسید رتینوئیک (RA)<sup>۳</sup> را دارند [۱۴] و می‌توان با استفاده از روش انتخاب دودمان به واسطه فاکتورهای رشد<sup>۴</sup> [۱۵] و روش حذف سرم<sup>۵</sup> [۱۶] و نیز هم‌کشتی<sup>۶</sup> این سلول‌ها با سلول‌های خاصی مثل

1. Pluripotential cells

2. Embryoid Body

3 . Retinoic Acid

2. Growth factor - mediated lineage selection

5. Serum - free medium

6. Co-culture

7. Stromal cell derived inducing activity

8. Conditioned medium

7. Cephalochordate

10. Presomitic Mesoderm

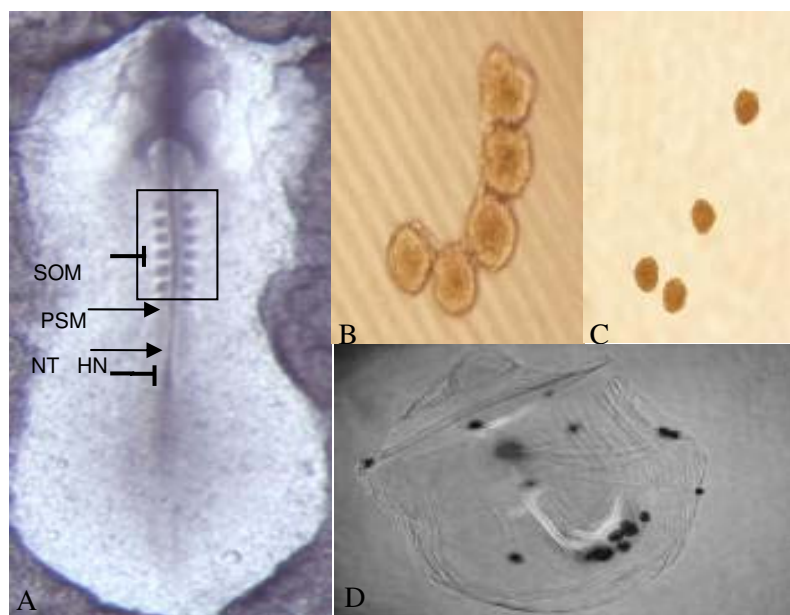
### جadasازی سومایت از جنین جوجه

تخم مرغ‌های نطفه‌دار از مرکز اصلاح نژاد مرغ بومی اصفهان تهیه شدند و در ۳۸ درجه سانتی‌گراد و رطوبت نسبی ۶۰ درصد نگهداری شدند تا جنین‌های جوجه مطابق با جدول تکاملی هامبورگر- هامیلتون [۳۰] به مرحله ۵ - ۱۰ سومایتی برستند (شکل ۱A). سپس جنین‌ها از سطح زردۀ جدا شده و در محیط (L15) Leibovitz's قرار داده شدند. برای تفکیک لایه‌های اکتودرمی، مزودرمی و آندودرمی از هم و جadasازی راحت‌تر سومایت‌ها، جنین‌ها به مدت ۵ دقیقه در ۴ ml آنزیم Dispase با غلظت ۱ mg/ml قرار داده شدند و پس از خشی شدن اثر آنزیم توسط FCS: L15: سومایت‌ها در زیر استرئو میکروسکوپ به کمک سوزن‌های انسولینی از جنین‌های جوجه جدا شدند (شکل ۱B و C).

پس از جadasازی سلول‌های ES از سلول‌های فیبروبلاستی برای تهیه EB به روش قطره آویزان قطرات ۲۰ میکرو لیتر حاوی ۱۰۰۰ سلول در هر قطره در محیط ۱۰۰۰ میلی مولار اسید آمینه غیرضروری، ۱/۰ میلی مولار بتا-مرکاپتواتانول، ۱ درصد ال-گلوتامین، ۱ درصد پنی سیلین و استرپتومایسین و U/ml عامل مهارکننده لوسمی<sup>1</sup> (LIF) کشت داده شدند.

### تهیه اجسام شبه جنینی (EB)

پس از جadasازی سلول‌های ES از سلول‌های فیبروبلاستی برای تهیه EB به روش قطره آویزان قطرات ۲۰ میکرو لیتر حاوی ۱۰۰۰ سلول در هر قطره در محیط ۱۰۰۰ میلی مولار اسید آمینه غیرضروری، ۱/۰ میلی مولار بتا-مرکاپتواتانول، ۱ درصد ال-گلوتامین، ۱ درصد پنی سیلین و استرپتومایسین بدون حضور LIF (محیط کشت سوسپانسیون) روی درب ظروف کشت باکتریایی به مدت دو روز کشت داده شدند (مرحله تشکیل EB).



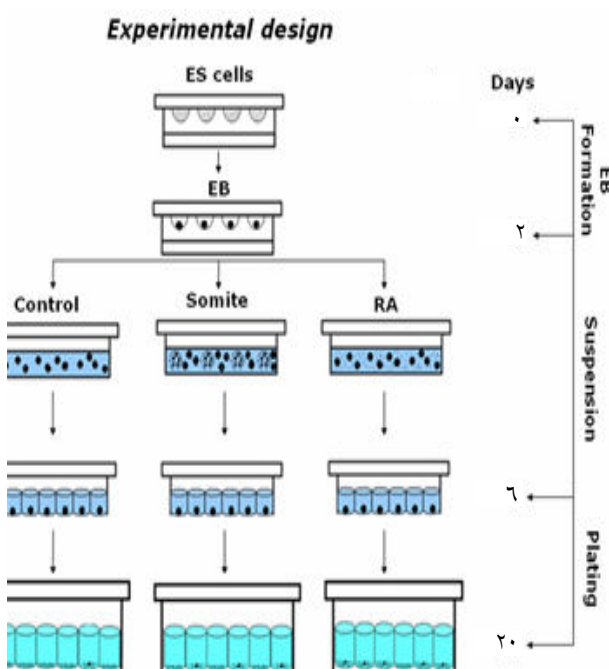
شکل ۱. تصویری از جنین جوجه و سومایت‌های جدا شده از آن، (A) جنین جوجه در مرحله ۹ تکاملی، محدوده داخل کادر ناحیه گردنی جنین را نشان می‌دهد که واجد دو واجد دو ردیف سومایت است، (B) تصویر میکروسکوپ فاز-کتراست نواری از سومایت‌های ناحیه گردنی جدا شده از جنین، (C) که از هم تفکیک شدند و (D) برای جلوگیری از ادغام آنها با سلول‌های حاصل از تمایز سلول‌های بنیادی جنینی طی همکشتنی در داخل دانه‌های آل‌جینیت قرار داده شدند. گره هنسن (HN)، نوتوكورد (NT)، سومایت (SOM)، مزو درم پیش سومایتی (PSM).

1. Leukemia Inhibitory Factor

اسید رتینوئیک (RA) در غلظت‌های بالا ( $M^{-7}$ ) نقش موثری در القای نورونی سلول‌های بنیادی جنینی دارد [۱۴ و ۳۱]. در این گروه تعدادی از EB‌ها در مرحله سوسپانسیون به مدت ۴ روز مطابق با پروتکل  $2^-/2^+/2^+$  [۳۱] تحت تاثیر یک میکرومول مدت دو روز و بدون حضور RA، EB‌ها تشکیل شدند ( $2^-$ )، سپس به مدت ۲ روز به آن‌ها RA اضافه شد ( $2^+$ ) و پس از تعویض محیط کشت مجدداً EB‌ها به مدت ۲ روز دیگر تحت تاثیر RA قرار گرفتند (۲<sup>+</sup>). در نهایت القای نورونی EB کلیه گروه‌ها ارزیابی شد (شکل ۲).

### جداسازی و کشت مجدد رزت‌ها

پس از ظهور رزت‌ها در EB، این ساختارها به کمک سوزن



شکل ۲. تصویر کلی از مراحل تشکیل اجسام شبه جنینی (EB) و هم‌کشتی آن‌ها با دانه‌های آلجنینیت حاوی سومایت‌های جنینی جوچه. در گروه کنترل EB‌ها تحت تیمار قرار داده نشدند و در گروه RA، EB‌ها تحت تاثیر اسید رتینوئیک با غلظت  $M^{-7}$  قرار داده شدند. پس از ۴ روز سوسپانسیون، EB‌های هر سه گروه به مدت دو هفته گسترش داده شدند.

### تهیه دانه‌های آلجنینیت<sup>۱</sup> حاوی سومایت

چنانچه سومایت‌ها در مجاورت EB‌ها قرار بگیرند تمایل دارند به آن‌ها متصل شوند. به همین دلیل برای جلوگیری از ادغام آن‌ها، سومایت‌ها در داخل محلول آلجنینیت قرار داده شدند (شکل D). برای انجام این عمل، مقدار  $1/2$  گرم پودر آلجنینیت در  $100$  میلی لیتر محلول  $0.15$  مولار  $\text{NaCl}$  حل شد تا محلول آلجنینیت  $1/2$  درصد به دست آید. پس از دو بار شستشوی سومایت‌ها در PBS فاقد کلسیم و منیزیم، قطرات  $15 - 20$  میکرولیتر محلول آلجنینیت حاوی سومایت (دانه‌های آلجنینیت) به مدت  $10$  دقیقه در محلول  $10.2$  میلی مولار  $\text{CaCl}_2$  قرار داده شدند. این دانه‌ها پس از  $2$  بار شستشو در محلول  $0.15$  مولار  $\text{NaCl}$  و یک بار شستشو در محیط کشت سوسپانسیونی برای هم کشتی با EB به ظروف حاوی محیط کشت سوسپانسیون انتقال داده شدند و به مدت  $4$  روز در مجاورت با EB‌ها در شرایط  $37$  درجه سانتی گراد و  $\text{CO}_2$   $6$  درصد نگهداری شدند (مرحله سوسپانسیون).

### گسترش و تمایز EB

پس از  $4$  روز هم کشتی EB‌ها با سومایت‌ها، EB‌ها به ظروف کشت  $24$  خانه‌ای پوشش داده شده با  $0.1$  درصد ژلاتین که حاوی  $500$  میکرولیتر محیط کشت  $5\text{-KDMEM}$ ,  $\text{ES-FCS}$  درصد،  $1$  میلی مولار اسید آمینه غیرضروری،  $10$  میلی مولار بتا-مرکاپتواتانول،  $1$  درصد ال-گلوتامین،  $1$  درصد پنی‌سیلین و استرپتومایسین (محیط کشت تمایزی) در هر خانه بود، منتقل شدند تا پس از گسترش تمایز یابند. در گروه کنترل نیز تعدادی از EB‌ها که تحت هم کشتی با سومایت قرار نگرفته بودند پس از  $4$  روز سوسپانسیون به این ظروف انتقال داده شدند.

1. Alginate beads

دقیقه هضم شدن و روی ظروف کشت پوشیده شده با bFGF در محیط Polyornithin/Laminin N2B27 که به آن (۱۰ ng/ml) نیز اضافه شده بود مجدداً کشت داده شدند. پس از گذشت ۲-۳ روز نورون ها ظاهر شدند.

### ایمونوستیتوشیمی

ها پس از دو بار شستشو با محیط فاقد سرم به مدت ۳۰ دقیقه در پارافرمالدئید ۴ درصد در ۴ درجه سانتی گراد تثبیت شدند. پس از سه بار شستشو با PBS/Tween20 به مدت ۲۵ دقیقه برآنها Triton X-100 تاثیر داده شد. EB ها در ۳۷ درجه سانتی گراد به مدت ۱ ساعت با normal goat serum باقی ماند. پس از سه بار شستشو در ۴ درجه سانتی گراد با آتنی بادی های اولیه بر ضد mouse anti- $\beta$ -tubulin III monoclonal Ab (Sigma, T8660) mouse anti-Map-2 monoclonal Ab (Sigma, M1406) mouse anti-Nestin monoclonal Ab (Chemicon, MAB353) انکوبه شدند. پس از سه بار شستشو با PBS/Tween20 EB ها به مدت ۲ ساعت در ۳۷ درجه سانتی گراد در معرض secondary fluorescein-conjugated anti-goat IgG (FITC) قرار گرفتند. پس از سه بار شستشو با ۲۰ PBS/Tween20 با ۲۰ PI رنگ شد و مجدداً بعد از سه بار شستشو با ۲۰ PBS/Tween20 به کمک میکروسکوپ Olyvia Fluroviewnss Olympus مدل BX51 و با نرم افزار Olyvia لازم گرفته شد.

### Semi-quantitative RT-PCR

کل RNA سلولی از سلول های بنیادی جنینی و اجسام شبه جنینی همه گروه ها با استفاده از کیت RNeasy Mini Kit استخراج شد و پس از تیمار با DNase RNase free - مطابق با superscript II RNase H<sup>-</sup> reverse transcriptase ۴ میکروگرم از RNA توتال برای سترن cDNA در دمای ۴۲ درجه به مدت ۱ ساعت در حجم نهایی ۲۰ میکرولیتر استفاده شد. برای پرایمر های مختلف ۵۰ نانوگرم

انسولینی و پیپت پاستور از EB ها جدا شده و در محیط کشت تمایزی مجدداً کشت داده شدند. از روش هضم آنزیمی نیز برای کشت مجدد رزت ها استفاده شد. در این روش ابتدا به EB های حاوی رزت آنزیم تریپسین به مدت ۳ دقیقه اضافه شد و پس از حذف تاثیر آنزیم با محیط سرم دار و شستشو با PBS، سوسپانسیون سلولی مجدداً در محیط کشت تمایزی کشت داده شدند.

### تمایز عصبی به روش انتخاب دودمان<sup>۱</sup>

تمایز عصبی سلول های بنیادی جنینی موشی به روش انتخاب دودمان مطابق با پروتوكول Rolletcheck با کمی تغییر صورت گرفت [32]. ابتدا برای تشکیل EB به روش قطره آویزان، قطرات ۲۰ میکرولیتر حاوی ۶۰۰ سلول در هر قطره در محیط K-DMEM ۱۵ ، ES-FCS ۱۵ درصد، ۱ میلی مولار اسید آمینه غیرضروری، ۰/۱ میلی مولار بتا - مرکاپتوتانول، ۱ درصد ال - گلوتامین، ۱ درصد پنی سیلین و استرپتومایسین روی درب ظروف کشت باکتریایی به مدت دو روز کشت داده شدند. پس از دوروز سوسپانسیون EB ها در محیط کشت K-DMEM ، ES-FCS ۲۰ درصد همراه با  $\alpha$ -مونو تیو گلیسرول در ۰ روز در محیط کشت  $\alpha$ -MTG) K-DMEM ، ES-FCS ۲۰ درصد فاقد  $\alpha$ -مونو تیو گلیسرول در ظروف کشت ۶۰ میلی لیتری گسترش یافتدند. در روز ششم محیط کشت EB ها تغییر یافت و این توده ها در محیط فاقد سرم ۲۷ N2B27 که شامل DMEM/F12 + Neurobasal ۱:۱ همراه با مکملهایی مانند انسولین (۲۵  $\mu$ g/ml)، ترانسفیرین (۱۰۰  $\mu$ g/ml)، سلینیت سدیم (۳۰ nm)، B27 درصد، پروژستررون (۶ ng/ml)، پورترسین (۱۶  $\mu$ g/ml) و ۵۰  $\mu$ g/ml سرم آلبومین ۱۴-۱۲ گاوی (BSA)<sup>۲</sup> بود کشت داده شدند. پس از گذشت ۱ روز EB ها های گسترش یافته با آنزیم تریپسین به مدت ۱

1. Neural lineage selection  
2 . Bovine Serum Albumin

جدول ۱. مشخصات پرایمرهای مورد استفاده در RT-PCR

Gene	Primer Sequence (5' → 3')	AT (°C)	Length (bp)	Cycle
Oct3/4	F:GGCGTTCTCTGGAAAGGTGTT R:CATACTCGAACACATCCTCTCT	63	318	36
Nestin	F:TCGAGCAGGAAGTGGTAGG R:TTGGGACCAGGGACTGTTA	55	352	30
Tuj1	F:GTTCCCACGTCTCCACTTCTC R:CCAGGTCAATTGATGTTGCTCT	65	479	30
Map2	F:GCAGAAAACCACAGCAGCAA R:TTGGAGGAGTGCGGATGATGG	62	434	36
β-tubulin	F:TCACTGTGCCTGAACCTTACC R:GGAACATAGCCGTAACCTGC	63	319	25

سومایت‌ها از جنین‌های ۵ تا ۱۰ سومایتی جوچه آن‌ها در دانه‌های آگینیت قرار داده شدند.

در مطالعه قبلی نشان داده شد که سومایت‌ها اثر القابی در تولید نورون از سلول‌های ES دارند [۲۹]. نتایج RT-PCR نیز این یافته‌ها را تأیید کرد و مشخص شد که سومایت‌ها سبب بیان نشانگرهای نورونی مانند nestin، β-Tubulin III، Map2 در نورون‌های حاصل از سلول‌های ES شدند. اگرچه میزان بیان این نشانگرهای در گروه RA بیشتر بود (شکل ۳).

### ظهور رزت عصبی

تشکیل رزت اولین نشانه تمایز عصبی در سلول‌های بنیادی جنینی انسانی محسوب می‌شود [۳] اما یافته‌های ما نشان داد که  $0.11\pm 0.14/0.88$  از EB های گروه سومایت توانستند ساختارهای رزتی ایجاد کنند در حالی که این میزان در گروه کنترل  $0.15\pm 0.26$  در گروه RA بود و از نظر آماری این تفاوت‌ها معنی‌دار بود ( $p<0.001$ ) (شکل ۴).

ساختارهای رزتی اولیه (Early-rosette) ۸-۶ روز پس از گسترش EB ها مشاهده شدند که نشانگر نستین را بیان می‌کردند (شکل ۵ A و B). پس از گذشت ۱۲-۱۴ روز این ساختارها به رزت‌های بالغ (Late-rosette) تمایز می‌یافتدند که قطر داشتند و همانند لوله عصبی  $6.36\pm 11.6/44$   $\mu\text{m}$  نورواپی‌تلیوم با آرایش شعاعی حول یک حفره مرکزی تجمع

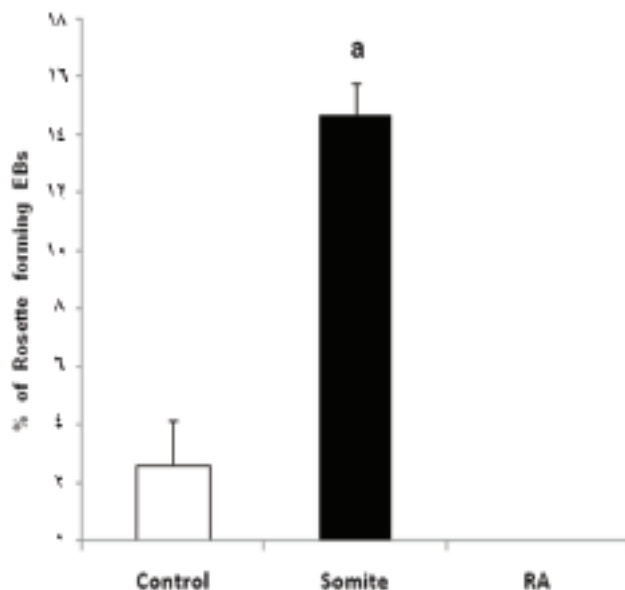
cDNA در حجم کلی ۲۵ میکرولیتر در هر واکنش PCR استفاده شد. توالی پرایمرها و طول قطعات تکثیر یافته در جدول ۱ آورده شده است. سپس محصولات PCR بر روی ژل آگارز ۱ درصد حاوی اتیدیوم بروماید (۰/۵ میکروگرم بر میلی‌لیتر) الکتروفورز شدند و باندهای ایجاد شده به کمک نور UV مشاهده شدند. در نهایت بیان نسبی mRNA های مختلف نسبت به بیان β-tubulin mRNA با استفاده از نرم‌افزار Gene Tools تجزیه و تحلیل شد.

نتایج به دست آمده در این مطالعه تجربی، پس از تعیین  $\text{mean}\pm \text{SEM}$  داده‌ها با استفاده از نرم‌افزار SPSS نسخه ۱۵ و به کمک آزمون Tukey One-way ANOVA تجزیه و تحلیل شد.

### یافته‌ها

#### القای عصبی سلول‌های ES موشی توسط RA و سومایت

یکی از مهمترین مورفوژن‌هایی است که به صورت وابسته به غلظت سبب تمایز EB های حاصل از سلول‌های بنیادی جنینی (ES) به انواع سلول‌ها از جمله سلول عصبی می‌شود [۱۴، ۳۱ و ۳۳]. بنابراین، در این مطالعه از غلظت بالای ( $10^{-7}$  RAM) برای القای عصبی استفاده شد. برای جلوگیری از ادغام سومایت‌ها با EB ها پس از جدایی

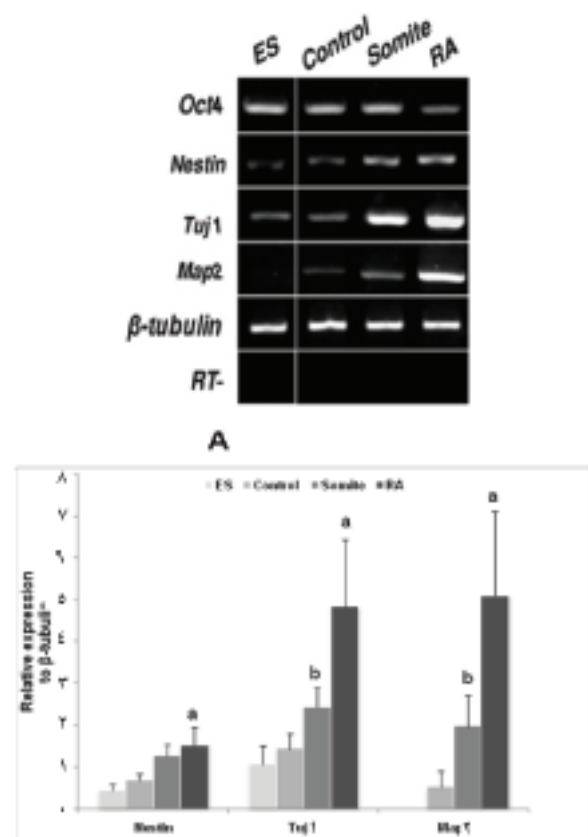


شکل ۴. درصدهای EB ایجاد کننده ساختارهای رزتی در گروههای مختلف. بیشترین درصد در گروه سومایت مشاهده می‌شود a: اختلاف معنی دار با گروههای کنترل و RA (p<0.001, n=5).

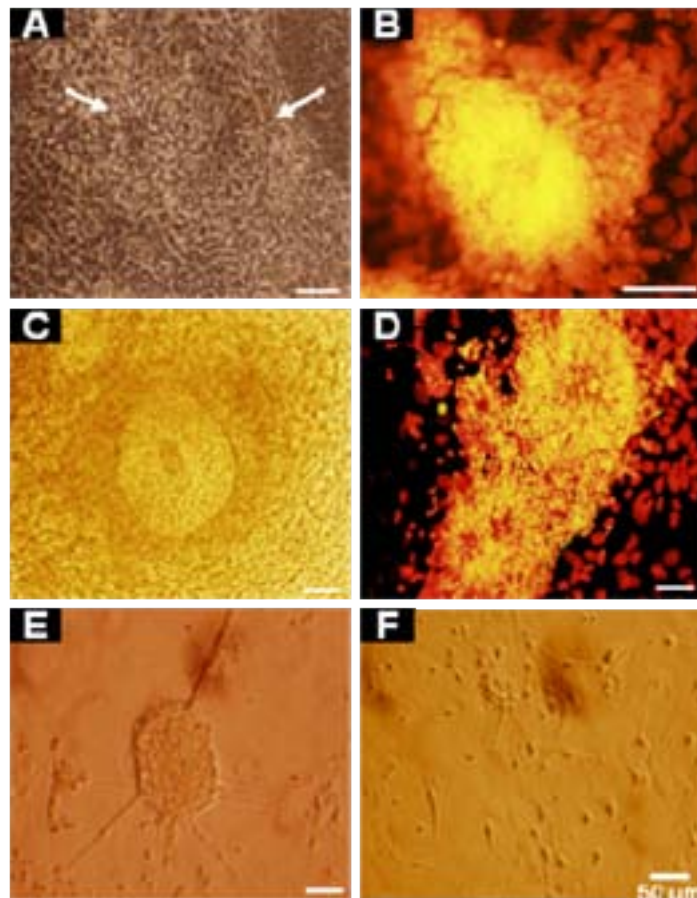
### تشکیل رزت در روش تمایز عصبی به صورت انتخاب دودمان

تمایز عصبی به صورت انتخاب دودمان روشنی است که سلولهای اکتودرمی در محیط کشت فاقد سرم از EBهای سه لایه ای انتخاب می‌شوند و به سلولهای عصبی تمایز می‌یابند [۳۴]. برای بررسی این نکته که آیا عامل زمان نیز در تشکیل رزت نقش دارد تعدادی از EBها به روش انتخاب دودمان تمایز عصبی یافتند که شیوه طولانی است. یافته‌های ما نشان داد که رزت‌ها در این روش هرچند بسیار کم تولید شدند ولی تولید آنها ۱۴ روز پس از گسترش EBها صورت گرفت (شکل ۷). پس از جداسازی آنریمی و کشت مجدد در محیط فاقد سرم، رزت‌ها توانستند به نورون تمایز یابند (شکل ۷B) و نشانگر Map2 را بیان کنند (شکل ۷C).

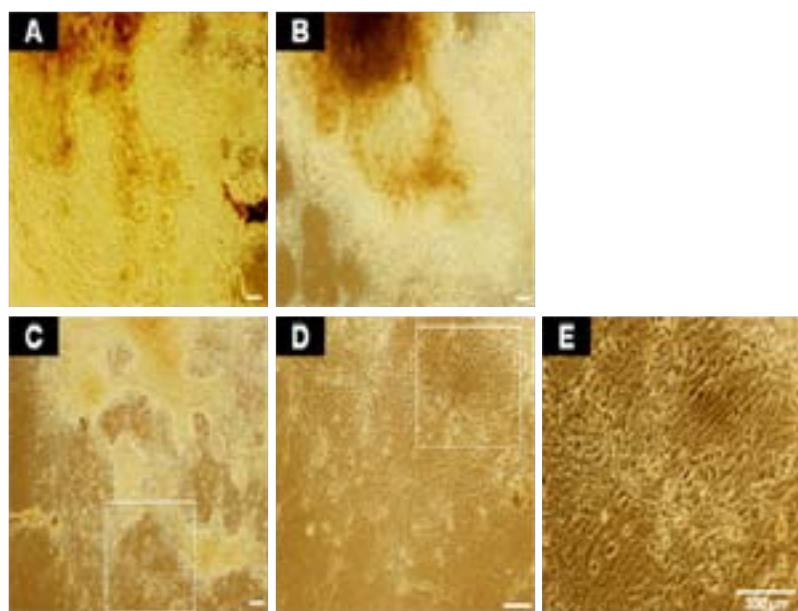
یافته بود. این ساختارها نشانگر 2 Map را بیان می‌کردند و نورون‌های Map2<sup>+</sup> در اطراف دیواره آنها مشاهده شدند (شکل ۵ C و D) و پس از جدا کردن آنها به روش‌های مکانیکی و آنریمی از EB و کشت مجدد توانستند بعد از گذشت ۲ تا ۳ روز به نورون تمایز یابند (شکل ۵ E و F). مرفوژوژی دسته‌ای از رزت‌ها نیز با گذشت زمان از روز نهم تا دهم بعد از گسترش تعییر یافت (شکل ۶ A). آنها توانستند از وسط EB (شکل ۶ B) به طرف محیط جابجا شوند (شکل ۶ C) و طی روزهای ۱۰-۱۳ پس از گسترش به نورون تمایز یابند (شکل ۶ D و E).



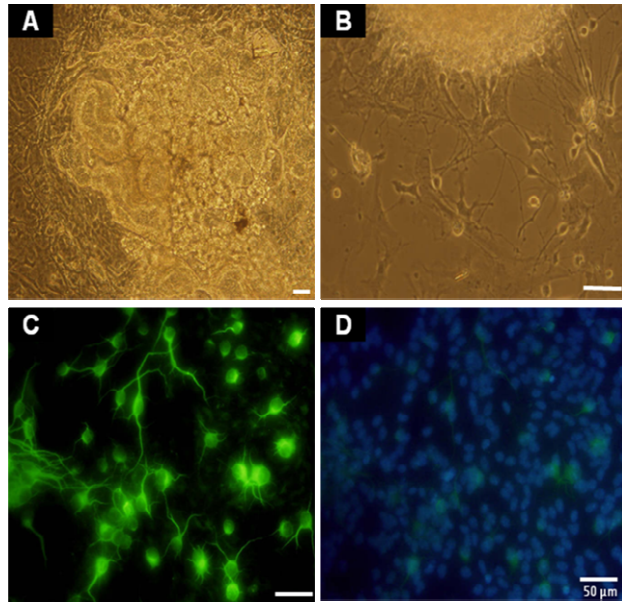
شکل ۳. بیان نشانگرهای نورونی در گروههای مختلف. (A) بیان نشانگرهای نورونی در گروههای سومایت و RA بیشتر از سایر گروهها بود (آنالیز RT-PCR نیمه کمی نشانگرها نسبت به ژن  $\beta$ -tubulin در گروههای سومایت این نسبت بیشتر از گروه کنترل بود ولی بالاترین نسبت در گروه RA مشاهده شد. a: اختلاف معنی دار با گروههای سومایت، ES و کنترل (p<0.01) و b: اختلاف معنی دار با گروههای ES و کنترل (n=4, p<0.05).



شکل ۵. تشکیل رزت عصبی در EB های گروه سومایت. (A) تصویر میکروسکوپ فاز کتراست از ساختارهای رزتی اولیه در گروه سومایت، پیکان‌ها رزتهای اولیه را نشان می‌دهند، (B) بیان نشانگر نستین در رزت اولیه، (C) تصویر میکروسکوپ فاز کتراست از ساختارهای رزتی بالغ در گروه سومایت، D بیان نشانگر Map2 در رزت بالغ، (E) رزت بالغ پس از جدا شدن مکانیکی از EB و کشت مجدد، (F) تمایز سلول‌های حاصل از رزت به نورون.



شکل ۶. (A) تغییر مرفو‌لوژی رزتها در روز نهم، (B) تا دهم پس از گسترش و جابجایی آنها از وسط EB، (C) به سمت محیط در روز ۱۳ و تمایزشان به نورون، (D) بزرگنمایی بیشتر تصویر داخل کادر C و (E) بزرگنمایی بیشتر تصویر داخل کادر D.



شکل ۷. A) تشکیل رزت در EB ها در روش تمایز عصبی به صورت انتخاب دودمان پس از ۱۴ روز گسترش، (B) یک روز پس از هضم آنزیمی رزتها و کشت مجدد نورونها ظاهر شدند و (C) نشانگر Map2 را بیان کردند، (D) رنگ آمیزی هسته ها با DAPI

با گذشت زمان از وسط به سمت محیط EB جابه جا شوند و

فضای کافی برای گستردگی شدن در اختیار داشته باشند قادرند به نورون تمایز یابند (شکل ۷).

بررسی های ایمونو سیتو شیمیایی رزتها نشان می دهد که مشابه با سلول های نورواپی تیالی موجود در لوله عصبی، سلول های رزتی انواع نشانگرهای سلول های پیش ساز عصبی مانند Nestin, SoxB1, N-CAM و Musashi-1 را بیان می کنند [۳]. یافته های این تحقیق نیز نشان داد که رزتها اولیه حاصل از تأثیر سومایت توانستند ۶ - ۸ روز بعد از گسترش Nestin, EB را بیان کنند که این نشان دهنده ماهیت پیش ساز عصبی سلول های سازنده رزت اولیه در این زمان بود (شکل A5 و B). از طرف دیگر، مطالعات نشان دادند که سلول های در حال تکثیر نورواپی تیالی رزتها ای انسانی، سلول های لایه خارجی دیواره رزتها موشی نشانگر نورونی Map2 را که در نورونها تجلی می یابد بیان می کنند [۳]. حتی سلول های ای انسانی نیز بیان می کنند [۴] و این بیانگر خروج برخی از سلول های پیش ساز از چرخه سلولی و شروع تمایز نورونی است [۳]. در این بررسی نیز مشخص شد

## بحث

سلول های بنیادی جنینی انسانی پتانسیل فراوانی برای تشکیل رزت به دنبال القای عصبی دارند و ظهور این ساختار نشانگر تمایز عصبی در آنهاست [۳,۳۵] اما در روش های معمول القای عصبی سلول های بنیادی جنینی موش کمتر به ایجاد چنین ساختار هایی پرداخته شده است. چیبا (Chiba) و همکارانش در سال ۲۰۰۵ تشکیل رزت ها را به دنبال القای عصبی سلول های بنیادی جنینی موش با RA و سپس ۸ روز کشت توده های سلولی حاصل از این سلول ها را در محیط کشت توامیت N2 + DMEM/F12 + Fibronectin به صورت شناور و بدون چسبیدن به کف ظروف کشت گزارش کردند [۴].

در این مطالعه نیز برای اولین بار مشخص شد که EB های حاصل از سلول های بنیادی جنینی موش قادرند به دنبال هم کشتنی با سومایت های جنین جوجه ساختار های رزتی ایجاد نمایند که پس از جدا سازی به روش مکانیکی و هضم آنزیمی و کشت مجدد توامیت پس از گذشت ۲ تا ۳ روز به نورون تمایز یابند (شکل ۵ E و F). همچنین در این مطالعه مشاهده شد که رزتها ای انسانی که در وسط EB ها تشکیل می شوند چنانچه

جنینی می‌شود [۱۴ و ۳۱]. یافته‌های قبلی نیز این توانمندی را تأیید کردند و مشخص شد که به دنبال القای عصبی سلول‌های بنیادی با غلاظت ۱ میکرومول RA بیش از ۸۰ درصد از EB‌ها توانستند تمایز نورونی را نشان دهند [۲۹]. در این مطالعه نیز نتایج حاصل از RT-PCR نشان داد که بیان نشانگرهای نورونی در گروه RA بسیار شدید بود ولی برخلاف مطالعه چیبا (Chiba) و همکارانش هیچ‌گونه رزت عصبی در EB‌های این گروه مشاهده نشد. در مطالعه Chiba توده‌های سلولی پس از تأثیر RA به مدت ۸ روز در حالت شناور در محیط کشت DMEM/F12 + Fibronectin + N2 قرار گرفتند و تحقیقات نشان می‌دهد که وجود فیرونکتین برای نوروکراسیون در جنین اولیه لازم است [۴] از این‌رو ساختارهای مشابه لوله عصبی در این مطالعه دیده شد. در مطالعه‌ای دیگر مشخص شد چنانچه سلول‌های بنیادی جنینی موش تحت تأثیر محیط فراهم شده حاوی Noggin قرار گیرند بیش از ۸۸ درصد از سلول‌های بنیادی پس از ۳ روز به نورون تمایز می‌یابند ولی ساختار رزتی ایجاد نمی‌کنند [۳۸].

بنابراین به‌نظر می‌رسد حضور عوامل القاگر عصبی به تنها برای ایجاد رزت کافی نباشد. شاید دلیل این امر سرعت القای عصبی اسید رتینوئیک و مدت زمان تمایز عصبی سلول‌های بنیادی در محیط کشت باشد؛ چرا که در مطالعه قبلی مشخص شد نورون‌های حاصل از تأثیر این ماده در محیط کشت به سرعت پس از گذشت ۳ روز از گسترش EB‌ها ظاهر شدند در حالی که در گروه سومایت، نورون‌ها پس از گذشت ۸ روز ظاهر شدند. حتی در گروه کترول نیز که رزت‌های بسیار کمی نسبت به گروه سومایت تولید شده بود (شکل ۴) القای عصبی پس از گذشت ۱۰ روز از گسترش EB‌ها صورت گرفت [۲۹].

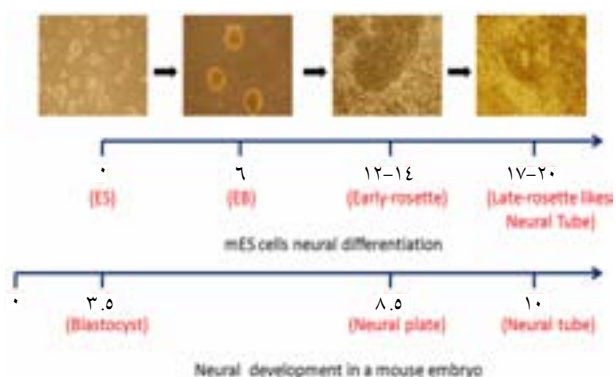
برای بررسی دقیق‌تر نقش زمان در تشکیل رزت‌ها، در تحقیق دیگری از روش تمایز عصبی به شیوه انتخاب دودمان استفاده شد. تمایز عصبی براساس این روش کند و بطنی است. هرچند در این روش ساختارهای مشابه با رزت تا حدی مشاهده

که رزت‌های بالغ، ۱۷ - ۲۰ روز بعد از گسترش EB‌های موشی ظاهر شدند و نشانگر Map2 را بیان کردند (شکل ۵ C و D). ساختار این رزت‌ها مشابه لوله عصبی بود طوری که سلول‌های نورواپی‌تیالی در چند ردیف به صورت شعاعی حول یک حفره مرکزی تجمع یافته بودند. این نتایج نشان می‌دهد که هرچند رزت‌های بالغ حاصل از تأثیر سومایت EB فوتیپ نورونی را نشان ندادند ولی نشانگر Map2 را بیان کردند و شاید دلیل این امر این باشد که سلول‌های رزت‌های بالغ، احتمالاً در مراحل انتهایی پیش‌ساز عصبی یا ابتدایی تمایز نورونی به سر می‌برند. چرا که تعدادی نورون Map2<sup>+</sup> در اطراف دیواره رزت‌ها مشاهده شدند (شکل ۵ D).

تحقیقات نشان می‌دهند که مولکول‌های BMP4 با ممانعت از القای عصبی سبب تمایز اپیدرمی در اکتودرم می‌شوند ولی آنتاگونیست‌های آن مانند Chordin, Noggin و Folistatin با حذف تأثیر این مولکول بر اکتودرم باعث القای عصبی می‌شوند [۳۶] از طرف دیگر، سومایتهای جنینی قادرند رتینوئیدها و مولکولهایی مانند نوگین و فولیستاتین را ترشح نمایند [۲۶-۲۸ و ۳۷] و توانستند در محیط آزمایشگاهی به دنبال هم کشتنی با EB‌های مشتق از سلول‌های بنیادی جنینی موش سبب تمایز عصبی در این سلول‌ها شوند [۲۹]. بنابراین به‌نظر می‌رسد علت تشکیل رزت‌های عصبی در گروه سومایت ناشی از حضور عوامل القاگر عصبی مترشحه از سومایت در محیط کشت سلول‌های بنیادی جنینی باشد.

همچنین این احتمال وجود دارد که صرفاً وجود عوامل القاگر عصبی در محیط کشت برای ظهور رزت‌ها در سلول‌های بنیادی جنینی کافی نباشد و مدت زمان تمایز عصبی در این سلول‌ها نیز در تشکیل رزت‌ها نقش داشته باشد. در این رابطه، برای بررسی نقش عوامل القاگر عصبی در ایجاد رزت‌ها از اسید رتینوئیک مستقیماً برای تمایز عصبی سلول‌های بنیادی جنینی موش استفاده شد. بررسی‌های مختلف نشان داده‌اند که RA القاگر عصبی قادر تمندی است که در غلظت‌های بالا باعث تولید نورون از سلول‌های بنیادی

از طرف دیگر همان طور که قبل از نیز اشاره شد در گروه سومایت، رزت‌های اولیه ۶-۸ روز (۱۲-۱۴ روز پس از شروع تمایز سلول‌های بنیادی) و رزت‌های بالغ، ۱۱-۱۴ روز بعد از گسترش EB‌ها مشاهده شدند (۱۷-۲۰ روز پس از شروع تمایز سلول‌های بنیادی) (شکل ۸). این یافته‌ها با نتایج حاصل از تحقیقات قبلی که زمان ظهور رزت‌ها را ۱۵-۱۲ روز پس از شروع تمایز عصبی سلول‌های بنیادی جنینی گزارش کردند همخوانی داشت [۴ و ۳۴].



شکل ۸. تصویر شماتیکی از زمان تشکیل رزت‌های عصبی اولیه و بالغ در سلول‌های بنیادی جنینی موش و شکل گیری صفحه و لوله عصبی در جنینی موش

اگرچه نوعی مطابقت زمانی بین تشکیل رزت در سلول‌های بنیادی جنینی موش و انسان وجود دارد ولی زمان ظهور نورواپی تلیوم در اکتودرم جنینی و شکل گیری لوله عصبی در جنین موش بسیار زودتر از جنین انسان اتفاق می‌فتند. از طرف دیگر، زمان شکل گیری رزت‌ها در سلول‌های بنیادی جنینی انسانی نیز یکسان گزارش نشده است و برخی از محققین زمان تمایز عصبی سلول‌های بنیادی جنینی انسانی را طولانی‌تر از زمان شکل گیری نورواپی تلیوم جنینی دانسته‌اند؛ از این‌رو به نظر می‌رسد که هیچ گونه ارتباط زمانی بین فرآیند القای عصبی سلول‌های بنیادی جنینی با این پدیده در بدن جنین وجود ندارد.

مطالعات صورت گرفته نشان می‌دهد که در حضور Noggin دیواره رزت ضخیم می‌شود و حفره مرکزی آن‌ها نیز

شدند ولی به عنوان رزت‌های عصبی که مشابه با لوله عصبی به واجد یک حفره مرکزی مشخص باشند (رزت‌های بالغ) در نظر گرفته نشدند و صرفاً به عنوان تجمعات سلول‌های پیش‌ساز عصبی که نشانگر Nestin را بیان می‌کردند گزارش شدند [۳۴]. به هر حال سلول‌های پیش‌سازهای عصبی در این روش پس از گذشت بیش از ۷ روز از گسترش EB‌ها ظاهر شدند [۳۲ و ۳۴] در تحقیق حاضر نیز مشخص شد که ساختارهای مشابه رزت ۱۴ روز پس از گسترش EB‌ها ظاهر شدند و توانستند پس از جدا شدن از EB‌های گسترش یافته به روش هضم آنزیمی و کشت مجدد پس از گذشت ۲ تا ۳ روز به نورون تمایز یابند (شکل ۷). به هر حال تعداد رزت‌ها در این روش نیز بسیار کم بود.

از طرف دیگر، در مورد مطابقت زمانی تشکیل نورواپی تلیوم در جنین و رزت‌ها در سلول‌های بنیادی جنینی انسانی نیز ضد و نقیض‌هایی وجود دارد. برخی از محققین گزارش کردند که زمان تشکیل رزت‌ها به نوعی با زمان شکل گیری نورواپی تلیوم و لوله عصبی در بدن جنین انسان مطابقت دارد. این محققین زمان ایجاد رزت‌های اولیه را در سلول‌های بنیادی جنینی انسانی ۸ تا ۱۰ روز بعد از تمایز عصبی گزارش کردند که با احتساب سن بلاستوسیست انسانی ۶ روزه که این سلول‌ها از آن جدا شدند (در کل ۱۴-۱۶ روز) این زمان را معادل با شروع گاسترولاسیون و تشکیل نورواپی تلیوم از اکتودرم در نظر می‌گیرند. همچنین تشکیل رزت بالغ را در روز ۱۵-۱۷ بعد از تمایز عصبی گزارش کردند که با احتساب سن بلاستوسیست (در کل ۲۱-۲۳ روز) این زمان معادل با پایان هفته سوم تکوین جنین انسانی و شکل گیری لوله عصبی است [۶، ۳۹ و ۴۰]. در مقابل، برخی دیگر از محققین زمان تشکیل رزت‌های عصبی را ۲۱ یا ۲۸ روز بعد از تمایز عصبی سلول‌های بنیادی جنینی انسانی گزارش نموده‌اند [۴۱]. این اختلاف زمانی ممکن است به نوع رده سلولی و یا روش مورد استفاده در تمایز عصبی سلول‌های بنیادی مربوط باشد.

نسبت به گروه RA ضعیفتر نشان داد هر چند که بیان این نشانگرهای در گروه سومایت بیشتر از گروه‌های کترول و سلول‌ها بنیادی جنینی بود (شکل ۳). دلیل دیگر این امر ممکن است پتانسیل بالاتر سلول‌های بنیادی جنینی پستانداران عالی‌تر مانند انسان در تشکیل ساختارهای رزتی نسبت به پستانداران پست مانند موش باشد.

یافته‌های حاصل از این تحقیق نشان می‌دهد که سلول‌های بنیادی جنینی موشی قادرند به دنبال هم کشته با سومایت‌های جنین جوجه ساختارهای رزتی را ایجاد نمایند. این رزت‌ها توانایی تمایز به نورون را پس از جداسازی و کشت مجدد دارند و چنانچه زمان و فضای کافی در اختیار داشته باشند می‌توانند با جابه‌جایی به سمت محیط EB به نورون تمایز یابند. در نهایت این بررسی‌ها نشان می‌دهند که وجود عوامل القاگر عصبی که تاثیر القایی سریعی دارند نمی‌توانند در تشکیل رزت‌ها در سلول‌های بنیادی جنینی مؤثر باشد و تشکیل این ساختارها به دنبال القای عصبی در دراز مدت صورت می‌گیرد.

## تقدیر و تشکر

این مطالعه با استفاده از منابع مالی پژوهشکده رویان انجام شده است و نویسنده‌گان مقاله بدین وسیله مراتب تقدیر و تشکر خود را از پژوهشکده رویان به عمل می‌آورند.

باریک می‌شود [۴۲ و ۴]. رزت‌های مطالعه شده در تحقیق حاضر نیز چنین خصوصیتی را نشان دادند و مجموعه‌ای از ۴ - ۵ ردیف سلول دیواره رزت را تشکیل دادند که حول حفره مرکزی باریکی اجتماع کرده بودند و رزت‌ها به صورت ساختارهای متراکم با دیواره ضخیم مشاهده شدند. با توجه به این که سومایت‌ها Noggin ترشح می‌کنند [۳۷] شاید دلیل این امر وجود Noggin در محیط کشت EB ها باشد. در رابطه با میزان تولید رزت در سلول‌های بنیادی جنینی، مطالعات مختلف نشان می‌دهند که ساختارهای رزتی به وفور در EB های مشتق از سلول‌های بنیادی جنینی انسانی ایجاد می‌شوند [۱ و ۳] و بیش از ۷۰ درصد از سطح کشت این EB ها را به دنبال القای عصبی رزت‌ها اشغال می‌کنند [۲] در حالی که این میزان در مطالعه حاضر بسیار کمتر بود و درصد کمتری از EB های موشی توانستند تحت تاثیر سومایت رزت تولید نمایند (۱۴/۶۸ درصد)؛ هر چند این میزان نسبت به گروه‌های کترول (۲/۶ درصد) و RA (صفر درصد) اختلاف معنی‌داری را نشان داد (شکل ۴). دلیل پایین بودن درصد تشکیل رزت در EB مشتق از سلول‌های بنیادی جنینی موش، ممکن است به پتانسیل ضعیف سومایت‌ها در القای عصبی این سلول‌ها برگردد که قادر به القای نورونی تقریباً ۳۵ درصد از EB ها بودند [۲۹]. نتایج RT- PCR نیز این یافته‌ها را تأیید نمود و بیان نشانگرهای نورونی همانند III Tubulin و β-Tubulin و Map2 را

## References

- Zhang SC, Wernig M, Duncan ID, Brustle O, Thomson JA.** In vitro differentiation of transplantable neural precursors from human embryonic stem cells. *Nat Biotechnol* 2001; 19:1129-33.
- Shin S, Mitalipova M, Noggle S, Tibbittis D, Venable A, Rao R, et al.** Long-Term Proliferation of Human Embryonic Stem Cell-Derived Neuroepithelial Cells Using Defined Adherent Culture Conditions. *Stem Cells* 2006; 24:125-38.
- Wilson PG, Stice SS.** Development and differentiation of neural rosettes derived from human embryonic stem cells. *Stem Cell Rev* 2006; 2:67-77.
- Chiba S, Kurokawa MS, Yoshikawa H, Ikeda R, Takeno M, Tadokoro M, et al.** Noggin and basic FGF were implicated in forebrain fate and caudal fate, respectively, of the neural tube-like structures emerging in mouse ES cell culture. *Exp Brain Res* 2005; 163: 86-99.

5. **Kuo HC, Pau KYF, Yeoman RR, Mitalipov SM, Okano H, Wolf DP.** Differentiation of monkey embryonic stem cells into neural lineage. *Biol Reprod* 2003; 68:1727-35
6. **Li XJ, Du ZW, Zarnowska ED, Pankratz M, Hanen LO, Pearce RA, et al.** Specification of motoneurons from human embryonic stem cells. *Nat. Biotech* 2005; 24:1-7.
7. **Lee H, AlShamy G, Elkabetz Y, Schofield CM, Harrison NL, Panagiotakos G, et al.** Directed Differentiation and Transplantation of Human Embryonic Stem Cell-Derived Motoneurons. *Stem Cells* 2005; 25:1931-39.
8. **Baharvand H, Mehjardi NZ, Hatami M, Kiani S, Rao M, Montazer Haghighi M.** Neural differentiation from human embryonic stem cells in a defined adhe-rent culture condition. *Int J Dev Biol* 2007; 51: 371-8.
9. **Evans MJ, Kaufman M.** Establishment in culture of pluripotential cells from mouse embryos. *Nature* 1981; 292: 154-6.
10. **Martin GR.** Isolation of a pluripotent cell line from early mouse embryos cultured in medium conditioned by teratocarcinoma stem cells. *Proc. Natl Acad Sci USA* 1981; 78: 7634-8.
11. **Thomson JA, Itskovitz-Eldor J, Shapiro SS, Walnitz MA, Swiergiel JJ, Marshall VS, et al.** Embryonic stem cell lines derived from human blastocysts. *Science* 1998; 282: 1145-47.
12. **Keller G.** Embryonic stem cell differentiation: emergence of a new era in biology and medicine. *Genes Dev* 2005; 19:1129-55.
13. **Desbaillets I, Ziegler U, Grosscurth P, Gassmann M.** Embryoid bodies: an in vitro model of mouse embryogenesis. *Exp Physiol* 2000; 85(6): 645-51.
14. **Bain G, Kitchens D, Yao M, Huettner JE, Gottleib DI.** Embryonic stem cells express neuronal properties in vitro. *Dev Biol* 1995; 168: 342-57.
15. **Guan K, Chang H, Rolletschek A, Wobus AM.** Embryonic stem cell-derived neurogenesis: Retinoic acid induction and lineage selection of neuronal cells. *Cell Tissue Res* 2001; 305:171-6.
16. **Tropepe V, Hitoshi S, Sirard C, Mak TW, Rossant J, Van er Kooy D.** Direct neural fate specification from embryonic stem cells: a primitive mammalian neural stem cell stage acquired through a default mechanism. *Neuron* 2001; 30: 65-78.
17. **O'Shea KS.** Self-renewal vs. Differentiation of Mouse Embryonic Stem Cells. *Biol Reprod* 2004; 71: 1755-65.
18. **Kawasaki H, Mizuseki K, Nishikawa S, Kaneko S, Kuwana Y, Nakanishi S, et al.** Induction of midbrain dopaminergic neurons from ES cells by stromal cell-derived inducing activity. *Neuron* 2000; 28: 31-40.
19. **Kawasaki H, Suemori H, Mizuseki K, Watanabe K, Urano F, Ichinose H, et al.** Generation of dopaminergic neurons and pigmented epithelia from primate ES cells by stromal cell-derived inducing activity. *Proc Natl Acad Sci USA* 2002; 99: 1580-85.
20. **Kitazawa A, Shimizu N.** Differentiation of mouse embryonic stem cells into neurons using conditioned medium of dorsal root ganglia. *J Biosci Bioeng* 2005; 100(1): 94-9.
21. **Nakayama T, Momoki-Soga T, Inoue N.** Astrocyte-derived factors instruct differentiation of embryonic stem cells into neurons. *Neurosci Res* 2003; 46:241-9.
22. **McGrew MJ, Pourquie O.** somitogenesis:segmenting a vertebrate. *Curr Opin Genet Dev* 1998; 8: 487-93.
23. **Brent AE, Tabin CJ.** Developmental regulation of somite derivatives: muscle, cartilage and tendon. *Curr Opin Genet Dev* 2002; 12:548-57.
24. **Kalcheim C, Goldstein RS.** Segmentation of sensory and sympathetic ganglia:interactions between neural crest and somite cells, *J Physiol* 1991; 85(3): 110-6.
25. **Koblar SA, Krull CE, Pasquale EB.** Spinal motor axons and neural crest cells use different molecular guides for segmental migration through the rostral half-somite, *J Neurobiol* 2000; 42(4): 437-47.
26. **Diez Del Corral R, Breitkreuz DN, Storey GK.** Onset of neuronal differentiation is regulated by paraxial mesoderm and requires attenuation of FGF signaling. *Development* 2000; 129:1681-91.

27. **Diez Del Corral R, Storey KG.** Opposing FGF and retinoid pathways: a signaling switch that controls differentiation and patterning onset in the extending vertebrate body axis, *Bioessays* 2004; 26: 857-69.
28. **Diez Del Corral RDD, Martinez IO, Gorely A, Gale E, Maden M, Storey K.** Opposing FGF and retinoid pathways control ventral neural pattern and neuronal differentiation, and segmentation during body axis extension. *Neuron* 2003; 40: 65-79.
29. **Sagha M, Esfandiari E, Razavi S, Karbalaee K, Nasr-Esfahani MH, Baharvand H.** Neuronal induction of mouse embryonic stem cells following co-culture with chick embryonic somites. *J Ir Anat Sci* 2008; 20:1-8. (Persian)
30. **Hamburger V, Hamilton HL.** A series of normal stages in the development of the chick embryo. *J Morphol* 1951; 88: 49-92.
31. **Okada Y, Shimazaki T, Sobue G, Okano H.** Retinoic -acid-concentration-dependent acquisition of neural cell identity during in vitro differentiation of mouse embryonic stem cells. *Dev Biol* 2004; 275: 124-42.
32. **Rolletschek A, Chang H, Guan K, Czyz J, Meyer M, Wobus AM.** Differentiation of embryonic stem cell-derived dopaminergic neurons is enhanced by survival-promoting factors. *Mech Dev* 2001; 105: 93-104.
33. **Wichterle H, Lieberam I, Porter JA, Jessell TM.** Directed differentiation of embryonic stem cells into motor neurons. *Cell* 2002; 110: 385-97.
34. **Okabe S, Nilsson KF, Spiro AC, Segal M, McKay DG.** Development of neuronal precursor cells and functional postmitotic neurons from embryonic stem cells in vitro. *Mech Dev* 1996; 59: 89-102.
35. **Wei Du Z, Zhang SC.** Neural Differentiation from Embryonic Stem Cells: Which Way? *Stem Cells Dev* 2004; 13: 372-81.
36. **Munoz-Sanjuan I, Hemmati-Brivanlou A.** Neural induction, the default model and embryonic stem cells. *Nat Rev* 2002; 3: 271-80.
37. **Hirsinger E, Jouve C, Malapert P, Pourquie O.** Role of growth factors in shaping the developing somite. *Mol Cell Endocrinol* 1998; 140: 83-7.
38. **Gratsch TE, O'Shea KS.** Noggin and chordin have distinct activities in promoting lineage commitment of mouse embryonic stem (ES) cells. *Dev Biol* 2002; 245: 83-94.
39. **Pankratz MT, Li XJ, LaVaute TM, Lyons EA, Chen X, Zhung SC.** directed neural differentiation of human embryonic stem cells via an obligated primitive anterior stage. *Stem Cell* 2007; 25: 1511-20.
40. **Krencik R, Zhang SC.** Stem cell neural differentiation: a model for chemical biology. *Curr Opin Chem Biol* 2006; 10: 592-7.
41. **Dhara S, Hasneen K, Machacek DW, Boyd NL, Rao RR, Stice SL.** Human neural progenitor cells derived from embryonic stem cells in feeder - free cultures. *Differentiation* 2008; 76:454-64.
42. **Itsykson P, Ilouz N, Turetsky T, Golstein R, Pera MF, Fishbein I, et al.** Derivation of neural precursors from human embryonic stem cells in the presence of noggin. *Mol Cell Neurosci* 2005; 30: 24-36.